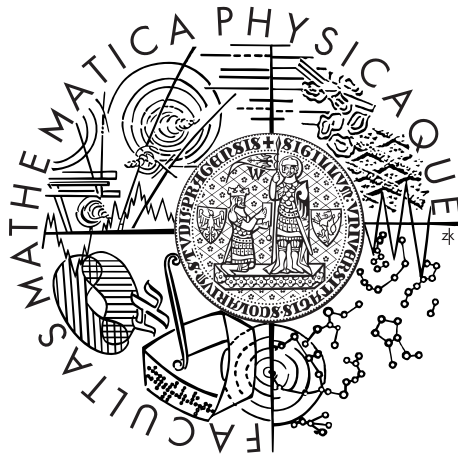


Univerzita Karlova v Praze  
Matematicko-fyzikální fakulta

## BAKALÁŘSKÁ PRÁCE



Quynh Lan Vu Pham

## Řešení okrajové úlohy pomocí spline funkcí

Katedra numerické matematiky

Vedoucí bakalářské práce: doc. RNDr. Vít Dolejší Ph.D., DSc.

Studijní program: matematika

Studijní obor: obecná matematika

Praha 2011

Bakalářská práce je zrealizována v době mého studia na Matematicko-fyzikální fakultě. Část práce je programování, které mě baví, a část práce je matematika, která je teoretická a zajímavá. Znalosti, které jsem získala za studium na MFF, a učitelé, které jsem respektovala, přispěli k mé motivaci pokračovat. Jsem ráda za možnost pracovat s lidmi, pro které je matematika zábavná.

Moje poděkování patří i mé rodině, která mě v průběhu podporovala, a mému vedoucímu práce panu doc. RNDr. Vítu Dolejšímu Ph.D., DSc. za odborné rady a za čas, který mi věnoval.

Prohlašuji, že jsem tuto bakalářskou práci vypracovala samostatně a výhradně s použitím citovaných pramenů, literatury a dalších odborných zdrojů.

Beru na vědomí, že se na moji práci vztahují práva a povinnosti vyplývající ze zákona č. 121/2000 Sb., autorského zákona v platném znění, zejména skutečnost, že Univerzita Karlova v Praze má právo na uzavření licenční smlouvy o užití této práce jako školního díla podle §60 odst. 1 autorského zákona.

V Praze dne 4.8.2011

Podpis autora

Název práce: Řešení okrajové úlohy pomocí spline funkcí

Autor: Quynh Lan Vu Pham

Katedra: Katedra numerické matematiky

Vedoucí bakalářské práce: doc. RNDr. Vít Dolejší Ph.D., DSc.

Abstrakt: Pro zadanou Poissonovu úlohu používáme metodu konečných prvků na aproximaci jejího řešení. Dle teorie metody konečných prvků zkonstruujeme v jistém Sobolevově prostoru konečnědimenzionální podprostor, na rozdíl oproti klasickému přístupu jej však generujeme pomocí báze ze splinů. Nalezené řešení v tomto podprostoru aproximuje funkci i její derivaci. Tím je aproximace více přesná.

Klíčová slova: spline, okrajová, úloha, numerický.

Title: Solution of a boundary problem with the aid of spline functions

Author: Quynh Lan Vu Pham

Department: Department of Numerical Mathematics

Supervisor: doc. RNDr. Vít Dolejší Ph.D., DSc.

Abstract: For the given Poisson's equation, we use the finite element method to find an approximate solution. According to the theory of the finite element method, we construct in a certain Sobolev space a finite dimensional subspace; unlike the classical approach, we generate the subspace using a basis of splines. The solution in the subspace approximates both the function and its derivative. This makes the approximation more accurate.

Keywords: spline, boundary, problem, numerical.

# Obsah

Úvod	1
<b>1 Metody konečných prvků</b>	<b>2</b>
1.1 Sobolevův prostor . . . . .	2
1.2 Poissonova rovnice a princip slabého řešení . . . . .	3
1.3 Metoda konečných prvků . . . . .	3
1.4 Diskretizace úlohy pomocí MKP . . . . .	5
<b>2 Přirozený kubický spline</b>	<b>7</b>
2.1 Definice přirozeného kubického splinu . . . . .	7
2.2 Konstrukce báze prostoru ze splinů . . . . .	7
Obrázky této kapitoly . . . . .	9
<b>3 Numerické výsledky</b>	<b>10</b>
3.1 Numerická realizace . . . . .	10
3.2 Chyba metody . . . . .	10
Tabulky a obrázky této kapitoly . . . . .	12
<b>Seznam použité literatury</b>	<b>15</b>

# Úvod

Práce je věnována řešení eliptické úlohy pomocí metody konečných prvků, kde místo klasické báze používáme bázové funkce typu kubický spline. Funkce z klasické báze jsou po částech lineární a numerické řešení je spojitě zobrazení na celém intervalu (ale ne nutně diferencovatelné), kdežto kubický spline je po částech polynomiální funkce a numerické řešení má derivaci 1. a 2. řádu na celém intervalu.

Řešíme rovnici  $-u'' = f$  na otevřeném intervalu  $(0, 1)$ , spolu s počátečními podmínkami  $u(0) = u(1) = 0$ , kde  $f$  je  $L^2$ .

Zkonstruujeme konečnědimenzionální prostor tak, že hledáme přibližné řešení v tomto prostoru. Výsledné řešení porovnáváme s řešením analytickým a zkoumáme, zda je řešení dobře aproximovatelné. Současně matematicky zavedeme označení  $\|e_h\|_{L^2} := e(h) = \|u - u_h\|_{L^2}$ , kde  $\|e_h\|_{L^2}$  značí  $L^2$  normu,  $u$  je přesné řešení, a  $u_h$  je řešení úlohy, které vychází z naší metody. Zajímá nás, zda chyba metody  $\|e_h\|_{L^2}$  konverguje k 0 a jak rychlá je tato konvergence.

# 1. Metody konečných prvků

## 1.1 Sobolevův prostor

Jako prostor  $L^p_{loc}(\Omega)$  budeme označovat množinu  $\{f \text{ měřitelné} : f \in L^p(K), \forall K \subset \Omega \text{ kompaktní}\}$ , kde  $L^p(\Omega) = \{f \text{ měřitelné} : \|f\|_{L^p(\Omega)} < \infty\}$ .

Nechť  $u \in L^p_{loc}(\Omega)$ , kde  $\Omega$  je oteřená množina.

Nechť  $\alpha$  je  $n$ -tice nezáporných celých čísel,  $\alpha = (\alpha_1, \dots, \alpha_n)$  a  $|\alpha| = \sum_i \alpha_i$ .

Nechť  $D(\Omega) \subset C^\infty(\Omega)$  je množina nekonečnědiferencovatelných zobrazení, které mají kompaktní nosič v  $\Omega$ . Zvolíme  $\varphi \in D(\Omega)$  libovolné.

Nechť  $D^\alpha \varphi(x) := \varphi^{(\alpha)}(x)$  je derivace zobrazení  $\varphi$  ve směru  $(\alpha_1, \dots, \alpha_n)$ , tj.

$$D^\alpha \varphi(x) = \frac{\partial^{|\alpha|} \varphi(x)}{\partial x_1^{\alpha_1} \dots \partial x_n^{\alpha_n}}.$$

**Definice.** Říkáme, že funkce  $g(x)$  je *zobecněná derivace* zobrazení  $f(x)$ , jestliže

$$\int_{\Omega} g(x) \varphi(x) \, dx = (-1)^{|\alpha|} \int_{\Omega} f(x) D^\alpha \varphi(x) \, dx, \forall \varphi(x) \in D(\Omega).$$

Značíme  $D^\alpha u := g$  a říkáme že  $u$  má zobecněnou derivaci  $k$ -tého řádu, kde  $k = |\alpha|$ .

Nyní definujme Sobolevův prostor

$$W^{k,p}(\Omega) = \{u \in L^p(\Omega) : D^\alpha u \in L^p(\Omega), \forall |\alpha| \leq k\}.$$

Jinými slovy, Sobolevův prostor řádu  $k$  je množina měřitelných funkcí  $u \in L^p(\Omega)$ , pro které existuje zobecněná derivace až do  $k$ -tého stupně v  $L^p(\Omega)$ . Norma v tomto prostoru je definována

$$\|f\|_{W_p^k(\Omega)} = \left( \sum_{|\alpha| \leq k} \|D^\alpha f\|_{L^p(\Omega)}^p \right)^{\frac{1}{p}}. \quad (1.1)$$

S touto normou je Sobolevův prostor Banachův. Je-li  $p = 2$ , je to Hilbertův prostor.

Podrobnější informace o zobecněných derivacích a Sobolevových prostorech najdeme ve skriptech EVANS[5] kapitola 5.

V našem případě zkoumáme řešení na otevřeném intervalu  $\Omega = (0, 1)$ , v Sobolevově prostoru

$$H^1 = H_2^1 = W^{1,2}(0, 1) = \{u \in L^2(0, 1) : u' \text{ existuje s.v.}\}. \quad (1.2)$$

## 1.2 Poissonova rovnice a princip slabého řešení

**Definice.**  $H_0^1 := \{v \in H^1(0,1) : v(0) = v(1) = 0 \text{ ve smyslu stop}\}$ .

Definici a vlastnosti *stopy* najdeme ve skriptech EVANS[5] str. 257 - 259.

Poissonovou úlohou rozumíme rovnici

$$-u'' = f, \quad (1.3)$$

pro kterou hledáme řešení  $u$ .

Zvolme libovolnou testovací funkci  $\varphi \in H_0^1$ . Po násobení  $\varphi$  na obou stranách rovnice (1.3) a poté integrování dostáváme rovnici

$$\int_0^1 -u''\varphi \, dx = \int_0^1 f\varphi \, dx. \quad (1.4)$$

Po použití Greenovy věty je rovnice (1.4) ekvivalentní

$$-u'(1)\varphi(1) + u'(0)\varphi(0) + \int_0^1 u'\varphi' \, dx = \int_0^1 f\varphi \, dx,$$

což je ekvivalentní

$$\int_0^1 u'\varphi' \, dx = \int_0^1 f\varphi \, dx \quad (1.5)$$

díky vlastnosti, že  $\varphi(1) = \varphi(0) = 0$ . Poslední rovnice platí pro libovolnou  $\varphi \in H_0^1$ . To nás vede k úloze hledání řešení  $u$  v prostoru  $H^1$ . Toto řešení se nazývá slabé řešení.

*Poznámka.* Slabé řešení je v kontrastu s klasickým řešením. Klasické řešení hledáme v prostoru diferencovatelných funkcí  $C^2$ , kdežto slabé řešení hledáme v prostoru  $H^1$  se zobecněnou první derivací.

Další poznámka k pochopení je, že slabé řešení není řešením úlohy (1.3), nýbrž řešením rovnice (1.5).

## 1.3 Metoda konečných prvků

Metodou konečných prvků, dále jen MKP, rozumíme Ritz-Galerkinovu metodu se speciálním výběrem konečnědimenzionálních prostorů  $V_h$ . Tuto metodu vysvětlíme níže.

Na začátku představíme náznak metody, kterou používáme při aproximacích, a náznak, proč je metoda tak vystavěna.



Hledáme řešení v nějakém Hilbertově prostoru  $H$ .

Nechť  $H'$  je topologický duální prostor k prostoru  $H$ . Jsou dány  $\mathcal{U} \subseteq H$  neprázdná, konvexní, uzavřená podmnožina,  $a: H \times H \rightarrow \mathbb{R}$  bilineární forma a  $f \in H'$ .

**Definice.**  $a$  je  $H$ -eliptická (neboli koercivní) na  $\mathcal{U}$ , jestliže existuje konstanta  $\alpha > 0$  taková, že  $a(v, v) \geq \alpha \|v\|^2$  pro všechny  $v \in \mathcal{U}$ .

**Definice.**  $a$  je omezená na  $\mathcal{U}$ , jestliže existuje konstanta  $M > 0$  taková, že  $|a(u, v)| \leq M \|u\| \|v\|$ , pro všechny  $u, v \in \mathcal{U}$ .

**Definice.** Mějme  $u \in \mathcal{U}$  vyhovující podmínce

$$a(u, v - u) \geq f(v - u), \forall v \in \mathcal{U}. \quad (1.6)$$

Potom nerovnost (1.6) nazýváme *eliptický problém* a  $u$  nazýváme *řešení* toho problému.

Jestliže  $\mathcal{U} = H$ , píšeme místo nerovnosti rovnost

$$a(u, v - u) = f(v - u), \forall v \in H. \quad (1.7)$$

**Věta 1.1.** (*Lax-Milgramova*). Nechť  $\mathcal{J}: H \rightarrow \mathbb{R}$  je kvadratický funkcionál daný výrazem

$$\mathcal{J}(v) = \frac{1}{2}a(v, v) - f(v),$$

kde  $a: H \times H \rightarrow \mathbb{R}$  je symetrická,  $H$ -eliptická a omezená bilineární forma. Potom existuje právě jediné řešení  $u^* \in H$  problému

$$\mathcal{J}(u^*) \leq \mathcal{J}(v), \forall v \in H. \quad (1.8)$$

Navíc  $u^* \in H$  řeší (1.8) právě tehdy, když řeší (1.6).

*Důkaz.* Najdeme ve skriptech HASLINGER[1] str. 13. □

*Poznámka.* Pro  $a$  symetrickou a  $H$ -eliptickou bilineární formu, (1.6) je ekvivalentní problému

$$\mathcal{J}(u) \leq \mathcal{J}(v), \forall v \in \mathcal{U}, \quad (1.9)$$

kde  $u \in \mathcal{U}$  a  $\mathcal{J}$  je výše definovaný funkcionál.

Nechť  $V \subset H$  je jiná neprázdná, konvexní, uzavřená podmnožina. Nyní máme dva problémy:  $u$  je právě jediné řešení problému (1.6) v  $\mathcal{U}$  a  $u_V$  je právě jediné řešení stejné nerovnice, ale ve  $V$ .

Následující tvrzení nám dá odhad na  $\|u - u_V\|_H$ .

**Tvrzení 1.1.** *Nechť  $a : H \times H \rightarrow \mathbb{R}$  je omezená a  $H$ -eliptická bilineární forma. Potom*

$$\|u - u_V\| \leq \frac{M}{\alpha} \inf_{v \in V} \|u - v\|.$$

*Důkaz.* Najdeme ve skriptech HASLINGER[1] str. 18. □

Nyní víme, že  $\|u - u_V\|$  lze omezit a tedy má smysl uvažovat konstrukce  $V$ . Důležitý případ nastává, když  $V$  je konečnědimenzionální prostor, díky čemuž je daný prostor prakticky konstruovatelný.

*Poznámka.* Předchozí dva problémy vedou na řešení soustav lineárních algebraických rovnic. (Viz skripta HASLINGER[1] str. 17-20.). Podobným postupem vyřešíme na konci této kapitoly jednu konkrétní úlohu.

Pro přesnější aproximaci nevystačíme s jediným konečnědimenzionálním prostorem, nýbrž budeme uvažovat posloupnost podprostorů s rostoucí dimenzí. Nechť  $h \in (0, 1)$  a ke každému  $h$  přiřadíme konečnědimenzionální podprostor  $V_h \subseteq H$ ,  $\dim V_h = n(h)$ , kde  $n(h) \rightarrow \infty$  pro  $h \rightarrow 0$ .

**Definice.** Mějme  $u_h \in V_h$ , které vyhovuje následující podmínce

$$a(u_h, v - u_h) = f(v - u_h), \forall v \in V_h. \quad (1.10)$$

Potom se rovnice (1.10) nazývají eliptické problémy pro různá  $h$  a  $u_h$  je řešení těchto eliptických problémů.

*Označení:* Galerkinova metoda je postup, kde zaměňujeme problém (1.6) za posloupnost problémů (1.10).

*Poznámka.* Je-li navíc  $a$  symetrická, jsou eliptické problémy (1.10) ekvivalentní úloze nalézt  $u_h \in V_h$ , v němž  $\mathcal{J}$  nabývá na  $V_h$  svého minima, tj.

$$\mathcal{J}(u_h) \leq \mathcal{J}(v), \forall v \in V_h. \quad (1.11)$$

Ritzova metoda je postup, kde zaměňujeme problém minimalizace  $\mathcal{J}$  na celém  $H$  za problém minimalizace  $\mathcal{J}$  na  $V_h$ , pro různé  $h$ .

Ritz-Galerkinova metoda je pojem pro obě metody, kdy nerozlišujeme symetrii bilineární formy  $a$ .

## 1.4 Diskretizace úlohy pomocí MKP

Předtím, než budeme řešit zmíněnou matematickou úlohu, podívejme se na jednu situaci, kdy tato úloha vzniká. Jeden z případů Poissonovy úlohy je případ, kdy máme pružně-plastickou gumu. Rovnice je sestavena z pravé strany  $f$ , která

reprezentuje tíhovou sílu působující na pružinu, a z hledané funkce  $u$ , která odpovídá tvaru, do jakého je pružina ohnutá pod danou silou  $f$ .

Nyní přejdeme na naši konkrétní Poissonovu úlohu, tj.  $-u'' = f$  na otevřeném intervalu  $(0, 1)$ , s Dirichletovými počátečními podmínkami  $u(0) = u(1) = 0$  na hranici.

$$\begin{aligned} \text{Rovnice } -u'' = f &\Leftrightarrow \int_0^1 -u''v = \int_0^1 fv, \text{ pro všechny } v \in H_0^1 \\ &\Leftrightarrow \int_0^1 u'v' = \int_0^1 fv, \forall v \in H_0^1. \end{aligned} \quad (1.12)$$

Zvolme konečnědimenzionální podprostor  $V_h \preceq H_0^1$  takový, že má báze tvořenou přirozenými kubickými splíny  $\varphi_i$ ,  $i = 1, \dots, n-1$ , kde  $h = \frac{1}{n}$ . Hledáme v něm přibližné řešení  $u_h$  tak, aby splňovalo tutéž úlohu. Další podmínky pro bázové funkce  $\varphi_i$ ,  $i = 1, \dots, n-1$  budou upřesněny v kapitole 2.2, kde je zkonstruujeme.

*Poznámka.* Značení  $\dim V_h = n-1$  pro  $h = \frac{1}{n}$  usnadní programování.

Převědeme rovnice (1.5), kde hledáme řešení  $u$  v prostoru  $H^1$ , na stejnou úlohu v podprostoru  $V_h$ . Hledáme tedy řešení  $u_h$ , které splňuje podmínku ekvivalentní s podmínkou (1.12):

$$\int_0^1 u_h'v_h' = \int_0^1 fv_h, \forall v_h \in V_h \quad (1.13)$$

Protože  $\{\varphi_i\}$  je báze prostoru  $V_h$ , hledané řešení  $u_h \in V_h$  lze jednoznačně napsat ve tvaru

$$u_h(x) = \sum_1^{n-1} u_i \varphi_i(x), \quad u_h'(x) = \sum_1^{n-1} u_i \varphi_i'(x), \text{ kde } u_i \in \mathbb{R}.$$

Protože  $\{\varphi_i\}$  je báze prostoru  $V_h$  a hledáme řešení  $u_h$  tak, že vyhovuje rovnici (1.13) pro každý prvek  $v_h \in V_h$ , problém se zredukuje na to, že bude stačit, když rovnice (1.13) bude platit pro všechny bázové funkce  $\varphi_i(x)$ ,  $i = 1, \dots, n-1$ .

Po dosazení  $u_h$  do rovnice (1.13) a s úvahou, že rovnice musí platit pro všechny bázové funkce, dostáváme soustavu lineárních algebraických rovnic

$$\sum_{i=1}^{n-1} u_i \int_0^1 \varphi_i'(x) \varphi_j'(x) dx = \int_0^1 f(x) \varphi_j(x) dx, \quad \forall j = 1, \dots, n-1. \quad (1.14)$$

Dále se zabýváme konstrukcí báze tohoto prostoru, neboli konstrukcí přirozených kubických splínů (s určitými podmínkami).

## 2. Přirozený kubický spline

### 2.1 Definice přirozeného kubického splinu

Jedním z problémů dnešní vědy je aproximovat funkci interpolační metodou. Aproximujeme danou funkci po částech, nejčastěji lineární, v našem případě polynomiální funkcí. Taková funkce  $\psi$ , která je po částech polynom a v uzlech má spojitou derivaci až do řádu  $k$ , se nazývá spline.

**Definice.** Budeme používat *ekvidistantní dělení* na intervalu  $[x_0, x_n]$  pro přirozené  $n$ . Ekvidistantní dělení na intervalu  $[x_0, x_n]$  rozumíme množinu  $D = \{x_0, \dots, x_n\}$  takovou, že  $x_i = x_0 + ih(x_n - x_0)$ ,  $i = 0, \dots, n$ , kde  $h = \frac{1}{n}$ .

Můžeme zvolit i jiné dělení, kde bude  $h = \max\{|x_{i+1} - x_i|; i = 0, \dots, n - 1\}$ .

**Definice.** Řekneme, že funkce  $\psi: [x_0, x_{n+1}] \rightarrow \mathbb{R}$  je *kubický spline*, kde  $x_0, x_1, \dots, x_{n+1}$  jsou prvky ekvidistantního dělení, jestliže

1.  $\psi \in \mathcal{C}^2[x_0, x_n]$ ,
2.  $\psi|_{[x_i, x_{i+1}]}$  je polynom stupně nejvýše 3.

Říkáme, že  $\psi$  je *kubický interpolační spline* k funkci  $g$  v bodech  $x_0, x_1, \dots, x_{n+1}$ , jestliže jsou navíc splněny podmínky  $\psi(x_i) = g(x_i)$ ,  $i = 0, \dots, n + 1$ .

Máme, že  $\psi_i := \psi|_{[x_i, x_{i+1}]}$  je polynom stupně nejvýše 3, lze ho tedy vyjádřit ve tvaru  $\psi_i(x) = a_i + b_i(x - x_i) + c_i(x - x_i)^2 + d_i(x - x_i)^3$ , pro  $i = 0, \dots, n$ .

Funkce  $\psi$  je určena  $4n$  parametry, přičemž máme  $4n - 2$  podmínek ( $2n$  podmínek z rovnosti s funkcí  $g$  v uzlech a spojitosti  $\psi$  v uzlech,  $2n - 2$  podmínek ze spojitosti 1. a 2. derivace  $\psi$ ). Zvolíme poslední dva parametry typu:  $\psi''(x_0) = \psi''(x_n) = 0$ . Taková volba tvoří *přirozený* kubický spline.

### 2.2 Konstrukce báze prostoru ze splinů

Z předchozí kapitoly víme, že báze prostoru jsou  $\{\varphi_i\}_1^{n-1}$ . Vektor z báze  $\varphi_i$  konstruujeme řadou polynomů  $\psi_j$  na jednotlivých intervalech, což matematicky zapíšeme

$$\psi_j^i := \varphi_i|_{[x_j, x_{j+1}]}, j = 0, \dots, n - 1$$

s dodatečnou podmínkou, že  $\varphi_i(x_j) = \delta_{i,j}$ , kde  $\delta_{i,j}$  je Kroneckerovo delta.

*Poznámka.* Index  $i \in \{1, \dots, n-1\}$  vyjadřuje index bázové funkce. Index  $j \in \{0, \dots, n-1\}$  značí interval.

Konstrukci přirozeného kubického splinu najdeme ve skriptech FEISTAUER[2] str. 2-4.

Náznak konstrukce přirozeného kubického splinu neboli bázové funkce  $\varphi_1$ :

Je dáno:  $h = \frac{1}{n}$ ,  $M_0 = \psi''(0) = 0$ ,  $M_n = \psi''(1) = 0$ ,

$$\varphi_1(x_j) = \begin{cases} 1 & j = 1 \\ 0 & \text{jinak.} \end{cases}$$

*Poznámka.* Značme  $\psi_j := \psi_j^1 = \varphi_1|_{[x_j, x_{j+1}]}$ ,  $j = 0, \dots, n-1$ .

$\psi_j''$  je polynom stupně nejvýše 1, zapíšeme ho ve tvaru

$$\psi_j''(x) = M_j \frac{x_{j+1} - x}{h} + M_{j+1} \frac{x - x_j}{h}.$$

Po integrování dostáváme

$$\psi_j'(x) = -M_j \frac{(x_{j+1} - x)^2}{2h} + M_{j+1} \frac{(x - x_j)^2}{2h} + A_j,$$

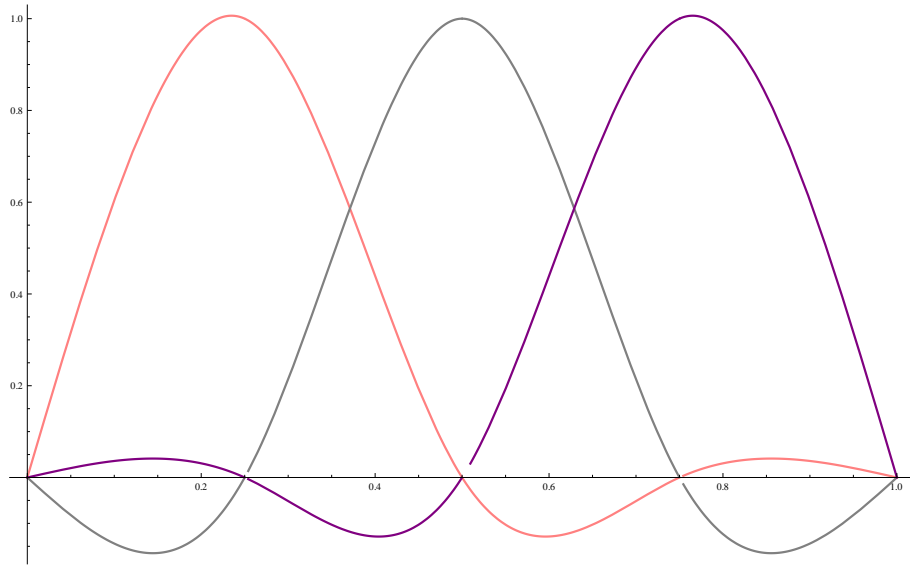
$$\psi_j(x) = -M_j \frac{(x_{j+1} - x)^3}{6h} + M_{j+1} \frac{(x - x_j)^3}{6h} + A_j(x - x_j) + B_j.$$

Ze známých hodnot  $\psi_j(x_j) = \varphi_1(x_j)$ ,  $\psi_j(x_{j+1}) = \varphi_1(x_{j+1})$  a  $\psi_{j-1}'(x_j) = \psi_j'(x_j)$  vychází hodnoty  $A_j = \frac{\delta_{1,j+1} - \delta_{1,j}}{h} - \frac{1}{6}h(M_{j+1} - M_j)$ ,  $B_j = \delta_{1,j} - h^2 \frac{M_j}{6}$  a soustava

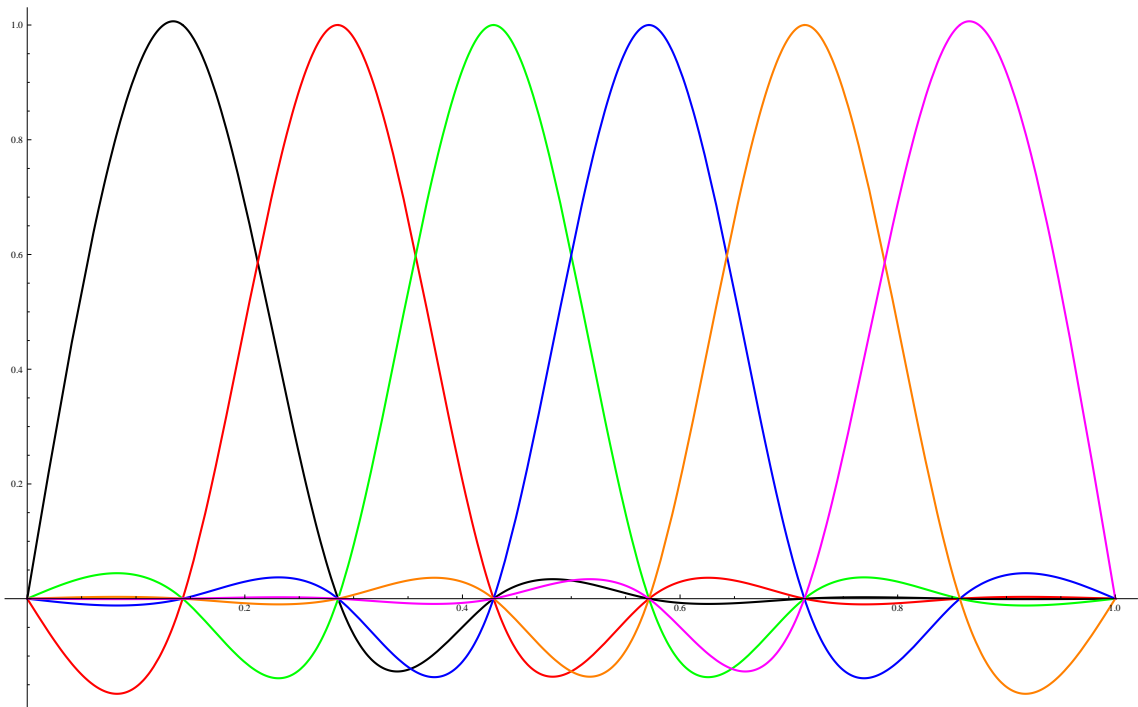
$$\begin{aligned} & 2M_1 + \mu_1 M_2 = g_1 \\ 1/2M_1 + 2M_2 + \mu_2 M_3 &= g_2 \\ 1/2M_2 + 2M_3 + \mu_3 M_4 &= g_3 \\ & \dots \\ 1/2M_{n-2} + 2M_{n-1} &= g_{n-1}, \end{aligned}$$

kde  $g_j = \left( \frac{\delta_{1,j+1} - \delta_{1,j}}{h} - \frac{\delta_{1,j} - \delta_{1,j-1}}{h} \right) \frac{6}{2h}$ . Vyřešíme matici pomocí známých metod, např. QR rozklad (viz skripta [3]), získáme potom polynomy  $\psi_0, \dots, \psi_{n-1}$ , z čehož dostáváme vyjádření bázové funkce  $\varphi_1$ .

Na následujících obrázcích (2.1) a (2.2) jsou bázové funkce po konstrukci. Na obrázku (2.1) jsou 3 bázové funkce pro 3 dimenzionální prostor. A na obrázku (2.2) je zkonstruováno 6 bázových funkcí.



Obrázek 2.1: Bázové funkce pro dim 3.



Obrázek 2.2: Bázové funkce pro dim 6.

## 3. Numerické výsledky

### 3.1 Numerická realizace

Chceme řešit soustavu (1.14), abychom dostali přibližné řešení  $u_h$ .

$$\text{Bud' te } \begin{aligned} s_{i,j} &= \int_0^1 \varphi_i' \varphi_j' dx & \text{ a } S &= \{s_{i,j}\} \\ p_j &= \int_0^1 f \varphi_j dx & \text{ a } p &= \{p_j\}_{j=1}^{n-1}. \\ u_I &= \{u_j\}_{j=1}^{n-1}. \end{aligned}$$

Dostáváme z rovnice (1.14) soustavu lineárních algebraických rovnic  $Su_I = p$ , kde jsou známé hodnoty  $S$  a  $p$ .

Integrál  $\int_0^1 \varphi_i' \varphi_j' dx$  lze počítat pomocí numerické metody, např. numerická kvadratura Gaussova (viz ve skriptech [4]).

Matice  $S$  je plná, a proto je nevýhodná vůči klasické volbě báze funkce. Pro více rozměrnou množinu  $\Omega$  je řešení soustavy výpočetně náročné.

Vyřešíme tuto soustavu, např. pomocí Gaussovy eliminace. Řešení soustavy jsou koeficienty  $u_i$ ,  $i = 1, \dots, n-1$ . Odtud  $u_h(x) = \sum_{i=1}^{n-1} u_i \varphi_i(x)$ .

### 3.2 Chyba metody

Nejdřív zopakujeme některé potřebné znalosti.

$H^1(\Omega)$  je Hilbertův prostor se skalárním součinem  $(\cdot, \cdot)$ . Definice prostoru  $H^1(\Omega)$  je v kapitole (1.1) a (1.2).

Pro  $f, g$  libovolné funkce v  $L^2(\Omega)$  platí:

$$\begin{aligned} (f, g)_{L^2(\Omega)} &= \int_{\Omega} fg \\ \text{a } \|f\|_{L^2(\Omega)}^2 &= (f, f)_{L^2(\Omega)}. \end{aligned}$$

Pro libovolné funkce  $u, v$  v  $H^1(\Omega)$ , z obecné definice (1.1), platí:

$$\begin{aligned} (u, v)_{H^1(\Omega)} &= \sum_{|\alpha|=0}^1 (D^\alpha u, D^\alpha v)_{L^2(\Omega)}, \\ \text{a tedy } \|u\|_{H^1(\Omega)}^2 &= \|D^0 u\|_{L^2(\Omega)}^2 + \|D^1 u\|_{L^2(\Omega)}^2 \end{aligned}$$

Nechť je  $u$  přesné řešení naší základní rovnice (1.3). Po úspěšné konstrukci přibližného řešení  $u_h$  se podíváme na to, zda je náš zvolený prostor dobrou volbou. Před tím zavedme nové značení.

Normu rozdílu mezi přesným a numerickým řešením značíme  $\|e_h\|_{L^2}$ , kde  $\|e_h\|_{L^2} := \|u - u_h\|_{L^2}^2$ . Zároveň ji nazýváme chyba aproximace.

Podobně zavedeme značení  $|e_h|_{H^1}$  pro rozdíl v seminormě v prostoru  $H^1$ .

Norma tohoto rozdílu v Hilbertovu prostoru  $H^1$  je  $|u - u_h|_{H^1}^2 = \|u - u_h\|_{L^2}^2 + \|u' - u_h'\|_{L^2}^2 = \int_0^1 (u - u_h)^2 + \int_0^1 (u' - u_h')^2$ . Odtud seminormu  $|e_h|_{H^1}$  definujeme  $|e_h|_{H^1} := \int_0^1 (u' - u_h')^2$ .

Kladnou funkci  $\|e_h\|_{L^2}$  nebo  $|e_h|_{H^1}$ , dále jen  $e(h)$ , používáme k prohlednutí konvergence metody.  $\alpha$  je řád metody a je definována ve smyslu  $e(h) = ch^\alpha$ , pro nějakou kladnou konstantu  $c$ . Čím je  $\alpha$  větší, tím je metoda přesnější. O  $\alpha$  říkáme také, že je to experimentální řád konvergence (dále jen EOC). A počítáme ji následovně:

Pro kroky  $h_i$  a  $h_{i+1}$  máme dvě rovnice

$$e(h_i) = ch_i^{\alpha_{i,i+1}} \text{ a } e(h_{i+1}) = ch_{i+1}^{\alpha_{i,i+1}},$$

kde  $\alpha_{i,i+1}$  je řád metody příslušný krokům  $h_i$  a  $h_{i+1}$ . Po logaritmování dostaneme

$$EOC = \frac{\log e(h_i) - \log e(h_{i+1})}{\log h_i - \log h_{i+1}}.$$

Zvolme za pravou stranu rovnice (1.3) následující funkce:

1.  $f \equiv 1$  je konstantní funkce, pro jednoduchý případ. Přesné řešení je pak  $u = -\frac{1}{2}x^2 + \frac{1}{2}x$ .
2.  $f = x^2 - x$  kvadratická funkce pro polynomiální případ, polynom do 3. stupně. Po úpravě rovnice (1.3) vyjde řešení  $u = -1/12x + 1/6x^3 - 1/12x^4$ .
3. Pro  $f = \sin(2\pi x)$  máme analytické řešení  $u = \frac{1}{4\pi^2} \sin(2\pi x)$ .
4. Pro  $f = \sin(10\pi x)$  je analytické řešení  $u = \frac{1}{100\pi^2} \sin(10\pi x)$ .



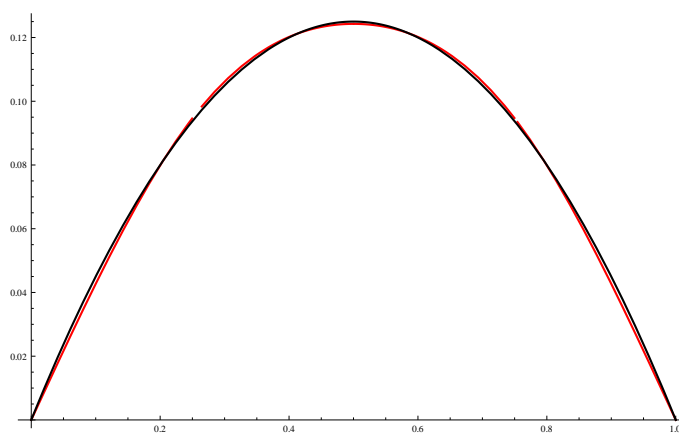
Legenda k obrázkům

černá křivka: analytické řešení  $u(x)$

červená křivka: numerické přibližné řešení (NPR)  $u_h(x)$

h	n	$\ e_h\ _{L^2}$	EOC	$ e_h _{H^1}$	EOC
0.1	10	1.93117252467226E-08		2.73397501525202E-05	
0.05	20	6.05237478557109E-10	4.99	3.4195281040303E-06	2.99
0.025	40	1.89136931332185E-11	4.99	4.27441069425759E-07	2.99
0.0125	80	5.91052897794079E-13	5.00	5.34301336301363E-08	3.00
0.00625	160	1.84707323095535E-14	4.99	6.67876682589236E-09	2.99
0.00416	240	2.43237354171031E-15	4.99	1.97889381943335E-09	3.00

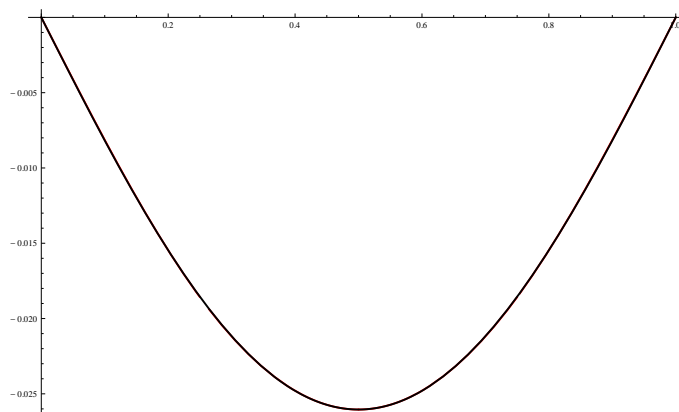
Tabulka 3.1: Chyba metody a EOC pro  $f \equiv 1$ .



Obrázek 3.1: Přesné řešení  $u$  a její NPR pro  $n = 4$ ,  $u = -\frac{1}{2}x^2 + \frac{1}{2}x$ .

h	n	$\ e_h\ _{L^2}$	EOC	$ e_h _{H^1}$	EOC
0.1	10	1.40234511326862E-13		2.15343878178321E-10	
0.05	20	3.66601487693022E-16	8.57	2.40621115590726E-12	6.48
0.025	40	1.0765890509733E-18	8.41	3.01013320568908E-14	6.32
0.0125	80	3.51468556464358E-21	8.25	4.11772766444224E-16	6.19
0.00625	160	2.19789507170761E-22	3.99	5.97730064761049E-18	6.10

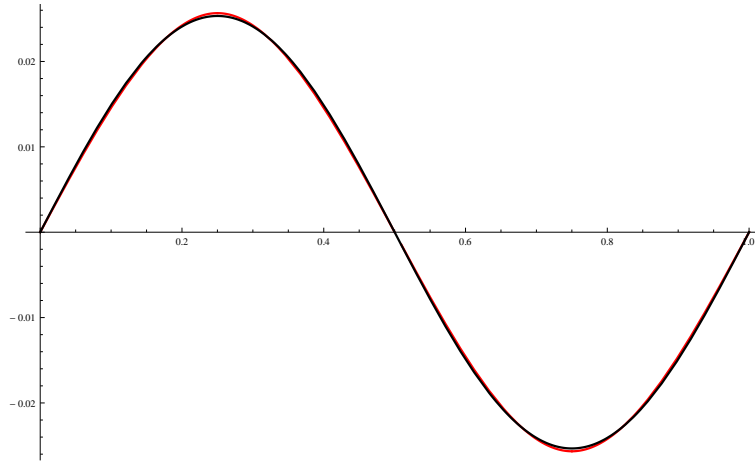
Tabulka 3.2: Chyba metody a EOC pro kvadratickou pravou stranu,  $f = x^2 - x$ .



Obrázek 3.2: Řešení  $u = -\frac{1}{12}x + \frac{1}{6}x^3 - \frac{1}{12}x^4$  a její NPR, pro  $n = 4$ .

h	n	$\ e_h\ _{L^2}$	EOC	$ e_h _{H^1}$	EOC
0.1	10	1.18578807277746E-11		2.34890764882301E-08	
0.05	20	3.83843325526074E-14	8.27	3.0217749948989E-10	6.28
0.025	40	1.42814033544551E-16	8.07	4.48245619763378E-12	6.07
0.0125	80	5.51059955355194E-19	8.01	6.91178991619415E-14	6.01
0.00625	160	2.67209890481277E-21	7.68	1.07638731778083E-15	6.00

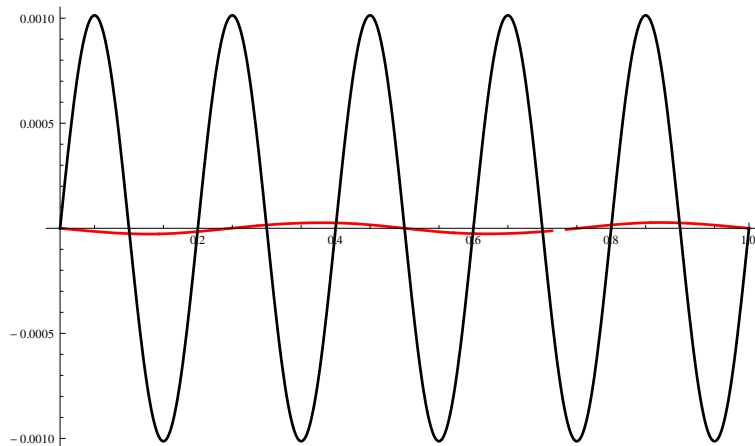
Tabulka 3.3: Chyba metody a EOC pro sinusovu pravou stranu,  $f = \sin(2\pi x)$ .



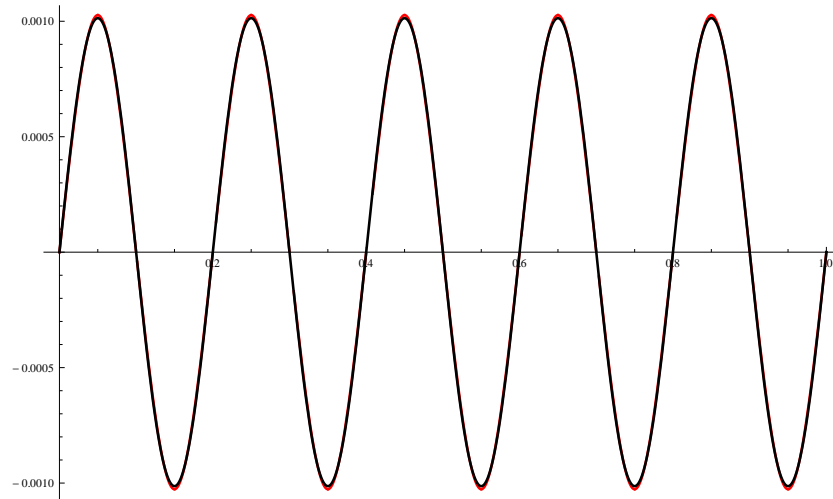
Obrázek 3.3: Řešení  $u = \frac{1}{4\pi^2} \sin(2\pi x)$  a její NPR, pro  $n = 4$ .

h	n	$\ e_h\ _{L^2}$	EOC	$ e_h _{H^1}$	EOC
0.1	10	5.24824833913843E-07		0.000495230487363672	
0.05	20	8.94824336070305E-11	12.51	6.4168522620276E-07	9.59
0.025	40	1.29396870477728E-13	9.43	4.09846606616581E-09	7.29
0.0125	80	3.79494467642423E-16	8.41	4.78952243947078E-11	6.41
0.00625	160	1.37454734786664E-18	8.10	6.90744414065156E-13	6.11
0.00416	240	5.31111803701336E-20	8.02	5.9724561334985E-14	6.03

Tabulka 3.4: Chyba metody a EOC pro sinusovu pravou stranu,  $f = \sin(10\pi x)$ .



Obrázek 3.4: Přesné řešení  $u = \frac{1}{100\pi^2} \sin(10\pi x)$  a její NPR, pro  $n = 7$ .



Obrázek 3.5:  $u = \frac{1}{100\pi^2} \sin(10\pi x)$  a její NPR,  $n = 20$ .

V prvních třech případech přibližné řešení konverguje velmi rychle k výslednému řešení, v prostoru dimenze 3. A v posledním případě  $\sin(10\pi x)$  je dobře aproximována v prostoru s 19 bázovými funkcemi. Dá se říct, že v těchto případech máme superaproximaci.

Experimentální řád konvergence v tabulkách je vysoký, dokonce vyšší, než se dá očekávat z aproximativních vlastností funkcí (EOC = 4 v  $L^2$  normě a EOC = 3 v  $H^1$  seminormě).

Tento jev je zajímavou otázkou pro budoucí výzkum.

# Seznam použité literatury

- [1] HASLINGER, Jaroslav. *Metoda konečných prvků pro řešení eliptických rovnic a nerovnic*. 1. vydání. Praha: SPN, 1980. 242 s.
- [2] FEISTAUER, Miloslav. *Základy numerické matematiky*. URL: <<http://www.karlin.mff.cuni.cz/~feist/ZNM-scripta.pdf>>
- [3] TEBBENS, HNĚTÝKOVÁ, PLEŠINGER, STRAKOŠ, TICHÝ. *Základní metody numerické lineární algebry*. Předběžný učební text.
- [4] SEGETHOVÁ, Jitka. *Základy numerické matematiky*. 2. vydání. Praha: Karolinum, 2002 ISBN 80-246-0585-6
- [5] EVANS, Lawrence Craig. *Partial differential equations*. 2nd ed. 2010. ISBN 978-0-8218-4974-3